

(68)

## 電気炉溶製における酸化期の数学的モデル

名古屋大学工学部 小林 熟・日本楽器(株) 太田 喜与資  
名古屋大学工学部 順 嶽

1. 緒言 高Cr鋼の電気炉溶製における酸化期を対象にして、炉壁より発生するCO気泡による脱炭反応、ランスより吹き込んだ酸素気泡による脱炭および脱Si反応、スラグ・メタル間での脱Si、脱Cr、FeOの分解反応を考慮した数学的モデルを展開して、C、Si、Crの各濃度および溶鋼温度の経時変化をデジタル電算機を使用して計算し、実測結果と比較検討し、さらに操作条件の変更の影響を調べる。

2. 解析 (a)炉壁より発生するCO気泡、および吹き込み酸素気泡による脱炭反応:  $C + O = CO \dots (1)$   
吹き込み酸素気泡による脱炭反応では(1)式のほか  $(1/2)O_2 \rightarrow O \dots (2)$ ,  $(FeO) = Fe + O \dots (3)$  を考慮する。

(仮定) (i)気泡界面ではC、O間の平衡関係が成立し、両成分の活量係数は1とする。 (ii)気泡は球形を保って上昇する。 (iii)溶鋼側での物質移動が律速とする。代表気泡径、気泡内CO分圧の代表値を採用すると、

$$d(\bar{W}_m C_i)/d\theta = \alpha P_m (C'_i - C_i) + \beta_1 P_m (C''_i - C_i) Q_g \dots (4)$$

$$\alpha \equiv A_w \sqrt{2} \pi \left[ 2 D_i^2 / g (d_f^*)^3 \right]^{1/4} (d_f^*)^2 L N_f, \quad \beta_1 = (12/\pi) \left[ 2 D_i^3 / g (d_b^*)^3 \right]^{1/4} (d_b^*/d_b)^2 (l/d_b) \dots (5)$$

(b)吹き込み酸素気泡界面およびスラグ・メタル間での脱Si反応:  $Si + 2(FeO) = (SiO_2) + 2Fe \dots (6)$

(仮定) (i)送酸開始前に投入石灰は完全に溶解している。 (ii)送酸中には石灰石、鉄鉱石を投入しない。  
(iii)各反応は可逆、逐次定常、物質移動律速とする。

$$d(\bar{W}_m C_3)/d\theta = k_m A_m P_m (C'_3 - C_3) + \beta_3 P_m (C''_3 - C_3) Q_g \dots (6), \quad \beta_3 = \beta_1 \sqrt{D_3/D_1}$$

$$d(\bar{W}_m C_5)/d\theta = k_s A_m P_s (C'_5 - C_5) - \beta_3 P_m (C''_3 - C_3) Q_g \dots (7)$$

(c)スラグ・メタル間での脱Cr反応:  $2Cr + 3(FeO) = (Cr_2O_3) + 3Fe \dots (8)$

$$d(\bar{W}_m C_4)/d\theta = k_m A_m P_m (C'_4 - C_4) \dots (9), \quad d(\bar{W}_m C_6)/d\theta = k_s A_m P_s (C'_6 - C_6) \dots (10)$$

(d)スラグ・メタル間での(FeO)の分解反応:  $(FeO) = Fe + O \dots (11)$ ,  $d(\bar{W}_m C_7)/d\theta = k_d A_m P_s (C'_7 - C_7) \dots (12)$

(e)O吸支:  $d(\bar{W}_m C_2)/d\theta = 2(Q_f/22.4) + d(\bar{W}_m C_1)/d\theta + 2d(\bar{W}_m C_3)/d\theta + (3/2)d(\bar{W}_m C_4)/d\theta - d(\bar{W}_m C_7)/d\theta \dots (13)$

(f)メタル・スラグの質量変化:

$$dM_i/d\theta = \sum_{j=1}^7 M_j d(\bar{W}_m C_j)/d\theta - M_7 d(\bar{W}_m C_7)/d\theta \dots (14), \quad dM_i/d\theta = \sum_{j=1}^7 M_j d(\bar{W}_m C_j)/d\theta \dots (15)$$

(g)熱収支:  $(\bar{W}_m C_m + \bar{W}_m C_a) dt/d\theta = P + (-\Delta H_1)\{-d(\bar{W}_m C_1)/d\theta + (-\Delta H_2)\}d(\bar{W}_m C_2)/d\theta + (-\Delta H_3)\{-d(\bar{W}_m C_3)/d\theta\} + (-\Delta H_4)\{-d(\bar{W}_m C_4)/d\theta\} + (-\Delta H_7)\{d(\bar{W}_m C_7)/d\theta\} - Q_L \dots (16)$

3. 結果 (4), (6), (7), (9), (10), (12)~(16)式の10元連立微

分方程式をR・K・G法によって数値計算した結果の一例を図1に示したが、実測値との間にかなりよい一致が得られた。

(記号)  $A_m$ : スラグ・メタル界面積、 $A_w$ : 炉壁面積、 $C$ : 濃度、 $D$ : 拡散係数、 $L$ : 鋼浴深さ、 $M$ : 分子量、 $N_f$ : 炉壁単位面積あたりの気泡発生数、 $P$ : アーチ入熱、 $Q_g$ : 送酸流量、 $Q_L$ : 热損失、 $d$ : 気泡径、 $g$ : 重力加速度、 $k$ : 物質移動係数、 $l$ : 吹き込み深さ、 $\rho$ : 密度、 $\theta$ : 時間、(添字)  $m$ : 溶鋼、 $1$ :  $C$ 、 $2$ :  $Si$ 、 $3$ :  $Cr$ 、 $4$ :  $SiO_2$ 、 $5$ :  $Cr_2O_3$ 、 $6$ :

$Cr_2O_3$ 、 $7$ :  $FeO$ 、 $8$ :  $Fe$ 、\*: 代表、 $0$ : 初期、 $c$ : 比熱

1)日本钢管(株)京浜: 第41回特殊鋼部分資料、7月(70)

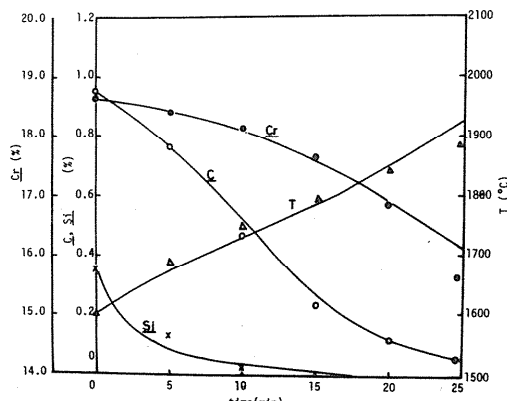


図1 40-t 電気炉による18-8ステンレス鋼の酸化期の実測値との比較